

名古屋大學
名古屋大學大學院

正員 福本博士
学生員 田中信夫

はじめに

純曲げによる工形ボリの弾塑性域下の複屈曲座屈 (Kippen)強度に関する検討を行なった。前回の底島大同から引続いて行なったスパンの短かい部材に対する座屈実験を含めて、実験結果のまとめを行ない、また、理論座屈曲線に対する考察を行なった。

理論解

曲げとねじれを構なう横刷め座屈は弱軸回りの曲げ剛性、曲げねじれ剛性、純ねじれ剛性の大きさによって影響をうける。ここでは、座屈時にかけられた

断面内の弾塑性域でのこれら剛性の考え方として、曲げ剛性、曲げねじれ剛性には接線弾性係数理論を用ひ、ねじれ剛性には、1)塑性流れ理論による $\Delta Z = G \delta \gamma$ なる全断面が有効に弾塑性ねじれ抵抗を示す場合、2)部分断面内の

弾性域のみのねじれ剛性を考えた場合、3)部材断面内のねじれ剛性を無視した場合、のそれとこれに対して弾塑性座屈曲線を求めた。なお、解析には断面内に発生していまる残留応力分布を含む場合(含まない場合との2通り)について行なった。図-1は実験に用いたD-タイプ(表-1)についての各種座屈理論曲線を示した。同図によれば、弾性域に比して弾塑性域では上記1)~3)のねじれ剛性の考究方が座屈強度に与える影響は明らかに小さく、弱軸回りの曲げ剛性、曲げねじれ剛性の低下が座屈強度に与える影響が顕著であることがわかる。

Table I

TYPE	depth	width	web thickness	flange thickness
A	25.05	10.10	0.65	0.84
B	25.14	12.03	0.65	0.84
C	30.15	10.12	0.64	0.83
D	25.28	10.09	0.88	1.15
E	25.17	12.07	0.94	1.16
F	30.41	10.12	0.90	1.15

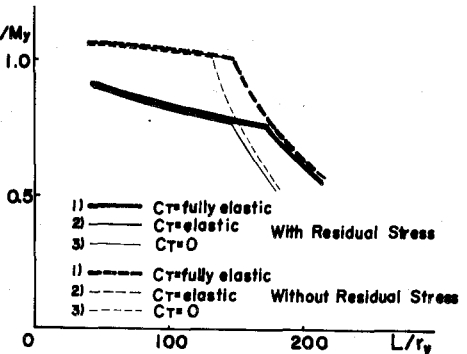


Fig. 1

宋史稿

試験体はSM50A, HT80の鋼材を用い、A～F-タイプの6種類の密接組立て工形ばりから見ていく。スパンはA, B, Cは3.0～4.5mで計21本、D, E, F

木つはて木 2.5~3.5 m で計 15 本である。
36 本のうち、12 本は残留力除去
焼却を行なった。試験片の両端支持は
剛-柔に示すように弱軸回りの曲げ、ねじ

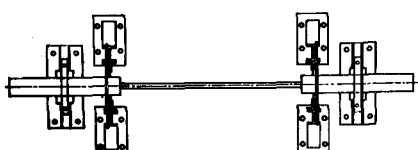
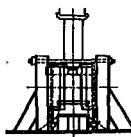
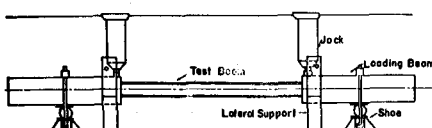


Fig. 2

に對して固定支持となつており、実験での座屈有効長さスパンの半分である。図-3は実験よりえられた座屈有効長さのはらつきの様子を示していふ。

実験結果

図-4はA-タブの座屈前後の曲げ一水平変位、ねじれ角、鉛直変位曲線をスパン中央断面にて求めたものである。残留応力分布の影響が曲げ一変位曲線、座屈強度に明瞭にあらわれてあり、また、両者とも座屈現象をかなり的確につかむことができる。図-5はSM50A材およびHT80に対する座屈強度実験値と理論曲線との比較を示す。理論曲線は残留応力のある場合、ない場合ともねじれ剛性に対して塑性流れ理論を用いてある。弾塑性域での座屈曲線の低下が実験からもみとめられる。試験体によつては初期変形(1~5mm)があるものの、理論解に用いた残留応力、フランジの最大圧縮残留応力 = 0.30 σ_y との三角形分布がおほら少しも実験げたの残留応力とは一致)ないなどの理由で用いた理論線より低くでいい。実験値もあり、また、実験値から弹性限は $M/M_y = 0.6$ 付近にあることがわかる。

本研究に用いた数値計算は HITAC 5020 (東大計算センター)で行なひ、実験は日本鐵道建設公団から名大(代表者菊池教授)への旅費研究費の一部をあてた。

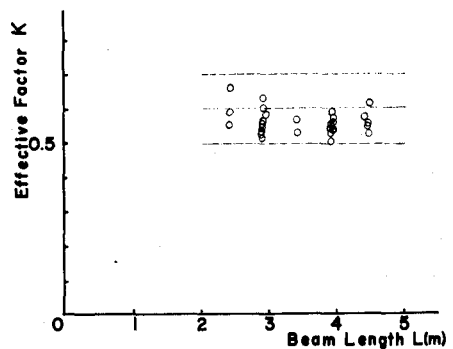


Fig. 3

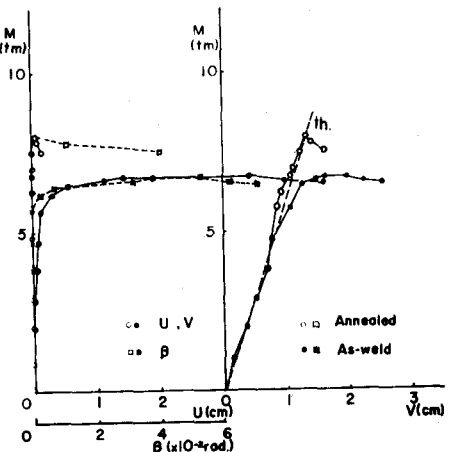


Fig. 4

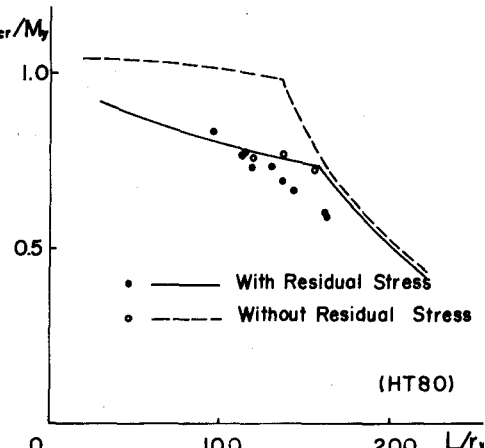
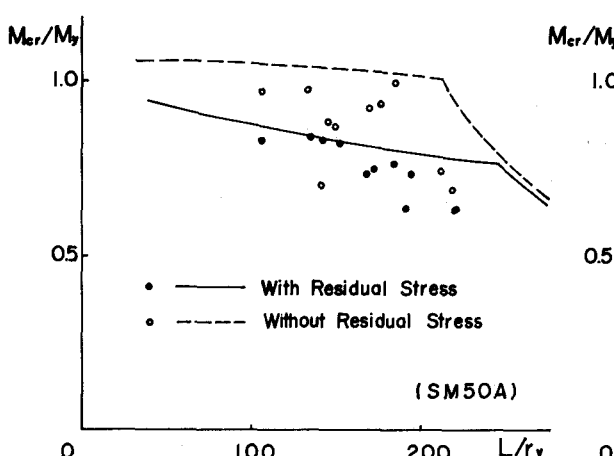


Fig. 5